

Ударная электромагнитная волна большой амплитуды в нелинейной линии передачи на основе распределенного полупроводникового диода.

А. С. Кюрегян

Всероссийский Электротехнический институт им. В. И. Ленина, 111250, Москва, Россия

E-mail: semLab@yandex.ru

Получено аналитическое решение задачи о возникновении и распространении ударной электромагнитной волны большой амплитуды в полосковой линии передачи (ЛП) на основе распределенного полупроводникового диода, которое корректно учитывает ее нелинейность, диссипацию и временную дисперсию. Результаты теории использованы для оценки параметров ЛП как обострителя фронта импульса напряжения, подаваемого на вход линии.

1. Введение

Давно известно, что в нелинейных линиях передачи (ЛП) при определенных условиях возникают ударные электромагнитные волны, которые используются, в частности, для формирования импульсов напряжения с крутыми фронтами [1-6]. Нелинейными элементами могут быть распределенные вдоль линии индуктивность L , зависящая от тока I при использовании ферритов, и/или емкость C , зависящая от напряжения U при использовании ферроэлектриков, полупроводниковых МДП-структур, диодов с барьером Шоттки или с p^+-n -переходом. Именно этот последний вариант ЛП теоретически исследован в настоящей работе применительно к проблеме обострения импульсов напряжения большой амплитуды.

Такую ЛП можно представить в виде множества последовательно соединенных ячеек, эквивалентная схема которых изображена на Рис. 1а. Распространение по ней электромагнитной волны вдоль оси z описывается при известных [7] условиях системой телеграфных уравнений

$$\frac{\partial U}{\partial z} + L \frac{\partial I}{\partial t} + R_L I = 0, \quad \frac{\partial I}{\partial z} + \frac{\partial Q}{\partial t} + GU = 0 \quad (1)$$

где $I = I(t, z)$ - ток вдоль линии, L и R_L - постоянные погонные индуктивность и сопротивление линии, G^{-1} - сопротивление утечки. Нелинейность соотношения между напряжением $U = U(t, z)$ и погонной плотностью заряда $Q = Q(t, z)$ линии является причиной возникновения ударной волны. Среди использованных ранее соотношений наиболее общее и подходящее для нашего случая было предложено авторами работы [8]. Его можно представить в виде двух равенств

$$U = Q/C_w(Q) + U_n, \quad U_n = R_n \partial(Q - C_n U_n) / \partial t, \quad (2)$$

где C_w - барьерная емкость диода, U_n - падение напряжения на емкости C_n и сопротивлении R_n нейтральной области n -слоя диода (см. Рис. 1б). Авторы остальных известных нам работ [1,2,9-13] либо использовали неподходящие для нашего случая зависимости $C_w(Q)$, либо пренебрегали величинами C_n и/или R_n , а те, кто их учитывал (в том числе и авторы работы [8]), полагали C_n и R_n постоянными. На самом деле при большой амплитуде волны величины R_n и C_n явно зависят от времени из-за уменьшения толщины $(d - w)$ нейтральной области n -слоя, а R_n зависит еще и от плотности тока $J = \partial Q / \partial t$, протекающего поперек ЛП, вследствие уменьшения подвижности электронов с ростом напряженности электрического поля.

Способ учета этих особенностей, позволяющий корректно описать нелинейность, диссипацию и временную дисперсию активного n -слоя диода, изложен в разделе 2 настоящей статьи. В разделе 3 дано аналитическое описание реальной структуры фронта стационарной ударной волны в ЛП на основе распределенного диода, в разделе 4 – описаны процессы формирования и затухания ударной волны при подаче на вход ЛП относительно медленно нарастающего напряжения, а в Заключение дана оценка параметров ЛП как обострителя фронта импульса напряжения.

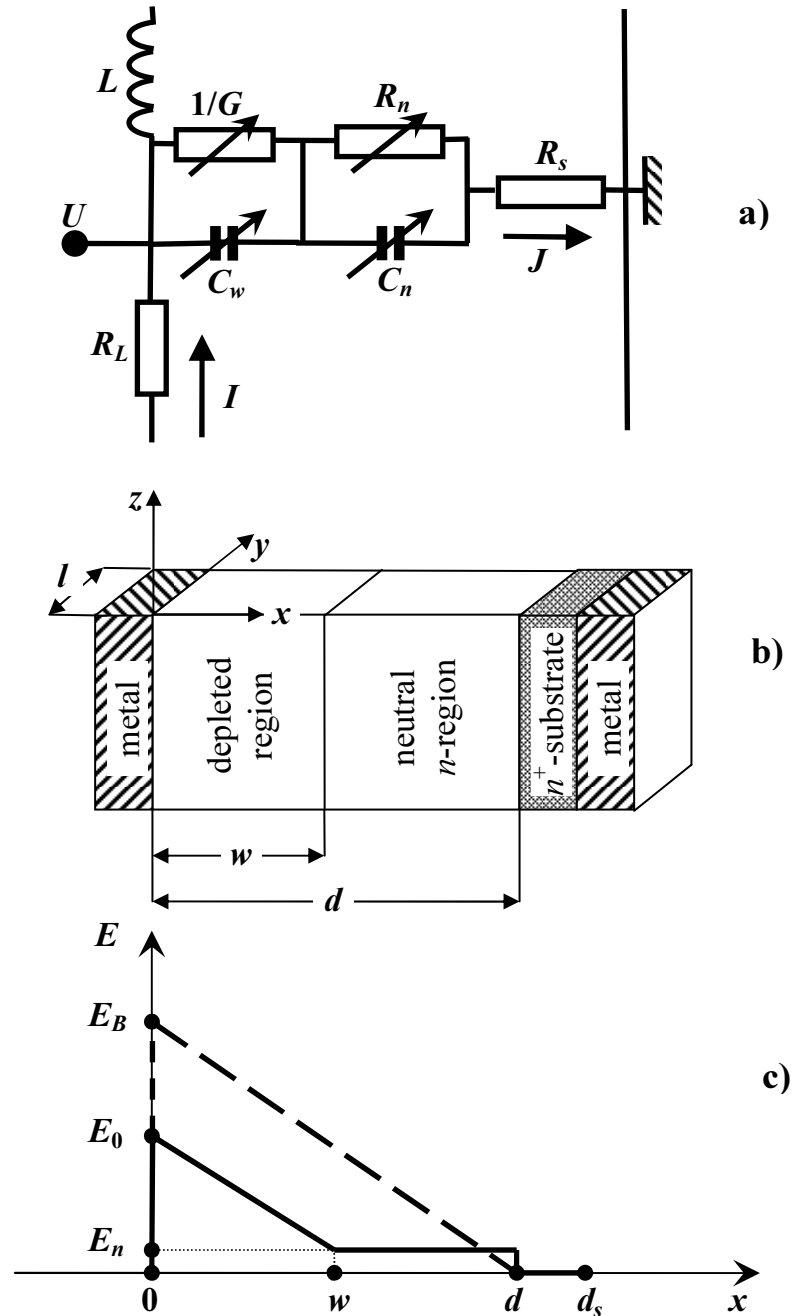


Рис. 1. Эквивалентная схема ячейки нелинейной линии передачи (а), поперечное сечение полоскового диода (б) и распределение электрического поля в p^+n-n^+ -структуре (с). C_w и G - емкость и проводимость истощенной области полупроводника ($0 < x < w$), C_n и R_n - емкость и сопротивление нейтральной области n -слоя ($w < x < d$), R_s - сопротивление подложки ($d < x < d_s$). Тонкий p^+ -слой не показан.

2. Нелинейность и временная дисперсия диодов.

Рассмотрим полосковую линию передачи, состоящую из протяженного вдоль оси z обратно смещенного $p^+ - n - n^+$ -диода, поперечное сечение которого схематически изображено на Рис. 1б. Будем считать, что

- n^+ -подложка толщиной d_s однородно легирована донорами с концентрацией N_s ,
- активная n -область толщиной d однородно легирована донорами с концентрацией $N \ll N_s$,
- p^+ -слой (на рисунке не показан) толщиной $d_p \ll d$ легирован акцепторами с концентрацией $N_p \gg N$,
- ширина полоски l и толщина фронта δ_f ударной волны, распространяющейся по линии, много больше $(d + d_s)$,
- проводимость G истощенной области полупроводника ($0 < x < w$) пренебрежимо мала.

Тогда поперечное электрическое поле E в n -области практически не зависит от y , а вдоль оси x распределено так, как изображено на Рис. 1с. Разность потенциалов между электродами $U(t, z)$, включающая и контактную разность потенциалов, связана с напряженностями поля $E_0(t, z)$, $E_n(t, z)$, $E_s(t, z)$ в плоскостях $x = 0$, $x = d$, $x = d + d_s$ и с толщиной истощенной области $w(t, z)$ очевидными соотношениями

$$U = (E_0 - E_n) \frac{w}{2} + E_n d + E_s d_s, \quad (3)$$

$$E_0 = \frac{e}{\varepsilon} N w + E_n, \quad (4)$$

где ε - диэлектрическая проницаемость полупроводника, e - элементарный заряд. Далее для определенности мы будем считать, что в статическом случае (то есть при $E_n = E_s = 0$) $w = d$ и $E_0 = E_p = eNd/\varepsilon$ при напряжении лавинного пробоя U_B . Электрические поля E_n , E_s в областях $w < x < d$, $d < x < d + d_s$ не зависят от x и обусловлены протекающим через них током с линейной плотностью

$$J = \frac{\partial Q}{\partial t} = l \varepsilon \frac{\partial E_0}{\partial t} = l \left[e N v(E_n) + \varepsilon \frac{\partial E_n}{\partial t} \right] = l e N_s \mu_{es} E_s, \quad (5)$$

где $Q(t, z) = l \varepsilon E_0(t, z)$ - погонная плотность заряда в плоскости $x = 0$, $v(E)$ - дрейфовая скорость электронов, для которой мы будем использовать аппроксимацию

$$v(E) = v_e \frac{1 + (E/E_1)^2}{E_e/E + 1 + (E/E_2)^2}, \quad (6)$$

$v_e = \mu_e E_e$, μ_e и μ_{es} - низкополевые подвижности электронов в n -области и подложке. Она хорошо описывает реальные зависимости $v(E)$ в Si [14] (где скорость практически постоянна в сильном поле) и 4H-SiC [15] (где скорость уменьшается с ростом E при $E > 200$ кВ/см) при значениях подгоночных параметров, приведенных в таблице 1.

Таблица 1.

Параметр	v_e , см/мкс	E_e , кВ/см	E_1 , кВ/см	E_2 , кВ/см	E_i , МВ/см	U_i , В
Si	10,0	7,1	∞	∞	1,43	1,83
4H-SiC	18,5	21	900	550	15,9	2,15

Первое слагаемое в квадратных скобках формулы (5) соответствует току проводимости через сопротивление R_n , а второе – току смещения через емкость C_n . Так как обычно $N_s \gg N$, то в подложке можно пренебречь током смещения и снижением подвижности в поле $E_s \ll E_e$. Из (4) и (5) следует, что

$$\partial w / \partial t = v(E_n), \quad (7)$$

то есть граница $x = w$ между истощенной и нейтральной областями n -слоя движется со скоростью $v(E_n)$, изменяя тем самым эффективные значения R_n и $C_{w,n}$. Формулы (3)-(5) и (7) задают в неявном виде соотношение между U и Q и являются аналогом равенств (2), однако только они корректно и исчерпывающе описывают особенности нелинейности, диссипации и временной дисперсии активного n -слоя диода.

3. Стационарная ударная волна.

Стационарная ударная волна, строго говоря, может существовать только в бесконечно длинной ЛП с пренебрежимо малыми сопротивлением R_L и проводимостью G . В этом случае в системе координат $\tilde{z} = z - u_f t$, движущейся вместе с фронтом с постоянной скоростью u_f , уравнения (1) принимают вид

$$\frac{\partial U}{\partial \tilde{z}} - Lu_f \frac{\partial I}{\partial \tilde{z}} = 0, \quad \frac{\partial I}{\partial \tilde{z}} - u_f \frac{\partial Q}{\partial \tilde{z}} = 0 \quad (8)$$

Интегрирование (8), с граничными условиями

$$U(\pm\infty) = U_{\pm}, \quad Q(\pm\infty) = Q_{\pm}, \quad I(+\infty) = 0 \quad (9)$$

приводит к соотношениям

$$Q(\tilde{z}) - Q_+ = \bar{C} [U(\tilde{z}) - U_+], \quad U(\tilde{z}) - U_+ = Lu_f I(\tilde{z}), \quad (10)$$

где эффективная погонная емкость

$$\bar{C} = \frac{Q_- - Q_+}{U_- - U_+} = \frac{\varepsilon l}{\bar{w}}, \quad (11)$$

$$\bar{w} = (w_+ + w_-) / 2, \quad w_{\pm} = 2U_{\pm} / E_{\pm}, \quad E_{\pm} = E_B \sqrt{U_{\pm} / U_B} = Q_{\pm} / l\varepsilon.$$

Далее мы будем считать, что параметры подложки N_s, d_s таковы, что выполняются два сильных неравенства

$$E_s d_s \ll E_n d \quad \text{и} \quad d_s \ll h_s = 2\sqrt{t_f / \mu_0 \sigma_s}, \quad (12)$$

где h_s - глубина проникновения магнитного поля в подложку с проводимостью $\sigma_s = e\mu_{es}N_s$ за время $t_f = \delta_f / u_f$ нарастания тока на фронте волны, μ_0 магнитная постоянная. В этом случае диссипация в подложке пренебрежимо мала, погонная индуктивность линии $L = \mu_0 (d + d_s) / l$ и скорость фронта

$$u_f = (L\bar{C})^{-1/2} = c_s \sqrt{\frac{\bar{w}}{d + d_s}} \quad (13)$$

может быть значительно меньше скорости света $c_s = 1/\sqrt{\varepsilon\mu_0}$ в полупроводнике [16-19]. Волновое сопротивление такой линии равно

$$Z = \frac{U(\tilde{z}) - U_+}{I(\tilde{z})} = \sqrt{\frac{L}{\bar{C}}} = Z_s \frac{\sqrt{\bar{w}(d + d_s)}}{l} \quad (14)$$

где $Z_s = \sqrt{\mu_0 / \varepsilon} \approx 110$ Ом в кремнии.

Используя (3) без малого слагаемого $E_s d_s$ вместе с первым из равенств (10) легко показать, что при этих условиях

$$E_n(E_0) = E_0 - E_B + \sqrt{(E_B - E_0)^2 + (E_- - E_0)(E_0 - E_+)}, \quad (15)$$

$$U(E_0) = U_B E_B^{-2} [E_0(E_+ + E_-) - E_+ E_-]. \quad (16)$$

Как и следовало ожидать, при $E_0 \rightarrow E_{\pm}$ (то есть вдали от фронта, где $J \rightarrow 0$) $U_0 \rightarrow U_{\pm}$, а напряженность поля $E_n \rightarrow 0$ и достигает максимума

$$\hat{E}_n = \frac{\bar{E}^2}{2(E_B - \bar{E})} \quad (17)$$

на фронте при

$$E_0 = \hat{E}_0 = \frac{E_B E_+ + E_B E_- - E_+ E_- - \bar{E}^2}{2(E_B - \bar{E})}, \quad (18)$$

где $\bar{E} = (E_+ + E_-)/2$. Зависимости $E_n(E_0)$ приведены на Рис. 2. Видно, что при больших U_- и малых U_+ максимальная напряженность поля в нейтральной области n -слоя значительно превосходит величину $E_c \leq 0.1E_B$, при которой зависимость $v(E)$ начинает отличаться от линейной. Из формул (4) и (15) можно получить максимальное значение \hat{U}_n падение напряжения на нейтральной части n -слоя $U_n = E_n(d - w)$. Точная формула очень громоздкая, поэтому мы приводим здесь приближенную формулу $\hat{U}_n = 4U_-/27$ для случая $U_+ = 0$, которая обеспечивает погрешность менее 15% и дает точное значение \hat{U}_n при $U_- = U_B$.

В движущейся системе координат уравнение (5) принимает вид

$$u_f \frac{\partial(E_0 - E_n)}{\partial E_0} \frac{\partial E_0}{\partial \tilde{z}} + \frac{E_B}{d} v[E_n(E_0)] = 0 \quad (19)$$

и интегрируется с учетом (15) при любой зависимости $v(E)$:

$$\tilde{z} = u_f d \int_{E_0}^{\bar{E}} \frac{(1 - \bar{E}/E_B) dE}{v[E_n(E)] \sqrt{(E - E_B)^2 + (E_- - E)(E - E_+)}} \quad (20)$$

начало координат на оси \tilde{z} выбрано в точке, где $E_0 = \bar{E}$. Примеры распределений напряженности U вдоль линии, рассчитанные по формулам (16), (20), приведены на Рис. 3. Как видно, структуры фронта в ЛП на основе Si и 4H-SiC практически совпадают, несмотря на существенное различие между типами зависимостей $v(E)$ в этих материалах. Если $E_- < E_B$, то интеграл в (20) расходится логарифмически при $E_0 \rightarrow E_{\pm}$, так как при этом $v(E_n) \propto |E_0 - E_{\pm}|$.

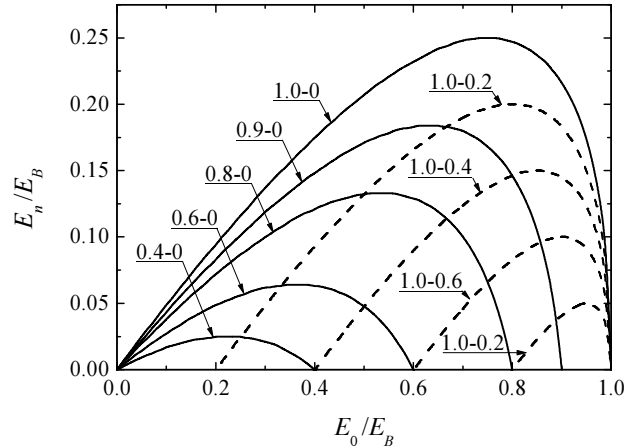


Рис. 2. Графики функции $E_n(E_0)$, рассчитанные по формуле (15). Числа у кривых указывают значения отношений E_-/E_B (первое) и E_+/E_B (второе).

Поэтому при удалении от фронта E_0 приближается к E_{\pm} по закону

$$E_0(\tilde{z}) - E_{\pm} \propto \pm \exp(\mp \tilde{z}/\lambda), \quad (21)$$

где $\lambda = 2u_f t_M \frac{E_B - \bar{E}}{E_- - E_+}$, $t_M = \varepsilon/eN\mu_e$ - время максвелловский релаксации в n -области. Вырожденный случай $E_- = E_B$ отличается тем, что в формуле (21) нужно заменить λ на $\lambda/2$ при $E_0 \rightarrow E_-$. Из (20) следует, что характерное время нарастания напряженности поля на фронте

$$t_f = \frac{E_- - E_+}{u_f} \left. \frac{d\tilde{z}}{dE_0} \right|_{\tilde{z}=0} = \frac{d(E_- - E_+)(E_B - \bar{E})}{E_B v [E_n(\bar{E})]} \sqrt{\frac{2}{(E_B - E_+)^2 + (E_B - E_-)^2}}. \quad (22)$$

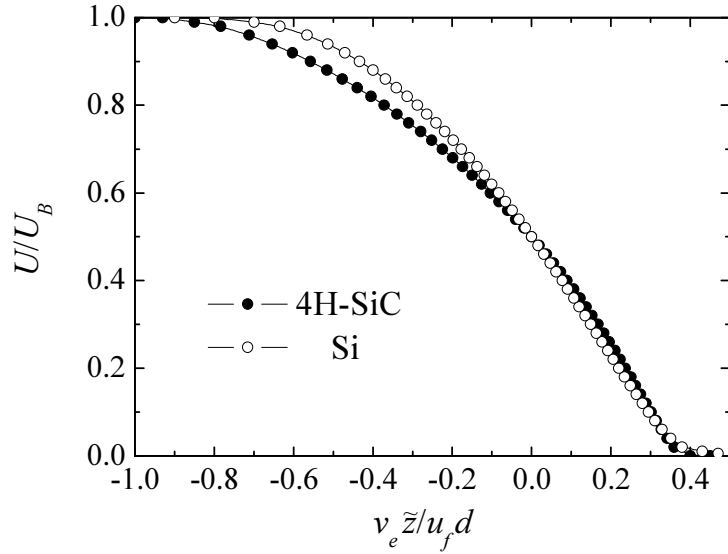


Рис. 3. Распределения напряжения U на фронте ударной волны в кремниевой (светлые символы) и карбид-кремниевой (темные символы) линиях, рассчитанные по формулам (16) и (20) при $U_- = U_B$ и $U_+ = 0$.

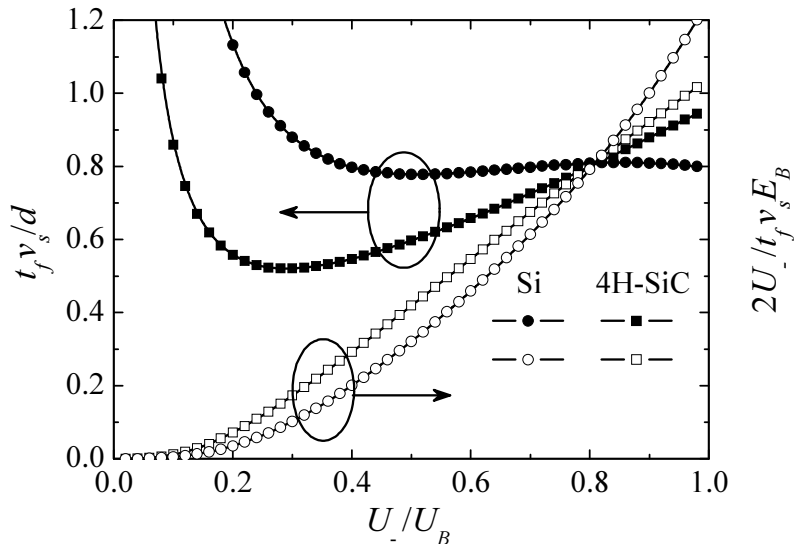


Рис. 4. Зависимости нормированных длительности t_f фронта ударной волны (темные символы) и скорости нарастания напряжения U_-/t_f на фронте (светлые символы) от U_- , рассчитанные по формуле (22) для кремниевой и карбид-кремниевой линий при $U_+ = 0$.

Примеры зависимостей t_f от U_- , рассчитанные по этой формуле, приведены на Рис. 4. Постоянство t_f в Si и увеличение t_f в 4H-SiC при больших U_- обусловлено соответственно насыщением зависимости $v(E)$ и уменьшением $v(E)$ в сильных полях E_n . Однако характерные скорости нарастания напряжения U_-/t_f на фронте в обоих случаях монотонно увеличиваются с ростом U_- и максимальны при $U_- = U_B$.

При прохождении фронта ударной волны в нейтральной части n -слоя диода рассеивается мощность с линейной плотностью $P_n = lE_n(d-w)eNv(E_n)$. Используя (4) и (5), эту формулу можно представить в виде

$$P_n = ld\varepsilon E_n \left(1 - \frac{E_0 - E_n}{E_B}\right) \left(1 - \frac{\partial E_n}{\partial E_0}\right) \frac{\partial E_0}{\partial t}. \quad (23)$$

Интегрируя (23) по времени с учетом (15) нетрудно получить линейную плотность энергии, рассеянной на фронте после прохождения волны:

$$\omega_n = \int_{-\infty}^{\infty} P dt = ld \frac{\varepsilon}{E_B} \left[\frac{(E_B - E_+)^3 - (E_B - E_-)^3}{3} - (E_- - E_+)(E_B - \bar{E})^2 \right]. \quad (24)$$

При $E_+ = 0$ формула (24) упрощается и принимает следующий вид:

$$\omega_n = ld\varepsilon \frac{E_-^3}{12E_B} \quad (25)$$

Как видно, в этом случае ω_n в $2\sqrt{U_B/U_-}$ раза меньше линейной плотности энергии электрического поля $\omega_- = ld\varepsilon E_-^2/6$ в ЛП, заряженной до напряжения U_- .

Следует отметить неожиданное свойство изучаемой ЛП: величина подвижности электронов и характер ее зависимости от напряженности поля определяют толщину фронта δ_f и время нарастания напряжения t_f (см. (20)-(22)), но никак не влияют на максимальное падение напряжения \hat{U}_n и линейную плотность энергии потерь ω_n в нейтральной части n -слоя.

Наибольший практический интерес представляет случай $E_+ = 0$, $E_- = E_B$, когда¹ $t_f \approx \xi d/v_e$ и толщина фронта $\delta_f = u_f t_f \approx \xi c_s d/v_e \sqrt{2\gamma}$, где $\gamma = (1 + d_s/d)$. Используя полученные результаты можно показать, что в этом случае оба условия (12) выполняются при

$$d_s/d \ll \min \left(\frac{N_s \mu_{es}}{N \mu_e}, \frac{2c_s}{v_e} \sqrt{\xi \frac{N \mu_e E_e}{N_s \mu_{es} E_B}} \right). \quad (26)$$

Правая часть этого неравенства максимальна при

$$\frac{N_s \mu_{es}}{N \mu_e} = \left[\xi \frac{E_e}{E_B} \left(2 \frac{c_s}{v_e} \right)^2 \right]^{1/3} \equiv \gamma_0, \quad (27)$$

откуда следует соотношение

$$\frac{\delta_f}{d + d_s} \approx \left(\frac{\gamma_0}{\gamma} \right)^{3/2} \sqrt{\frac{E_B}{8E_e}}.$$

Так как обычно $E_e < 0.1E_B$, то при условии (26) или, что то же самое $\gamma \ll \gamma_0$, выполняется сильное неравенство $\delta_f \gg (d + d_s)$, которое оправдывает применение телеграфных уравнений (1) и одномерных соотношений (3)-(7) для анализа структуры фронта ударной волны.

¹ Множитель ξ близок к единице; он равен 0,8 для Si и 0,96 для 4H-SiC (см. Рис. 4).

4. Формирование и затухание ударной волны.

Точный учет временной дисперсии и диссипации с помощью формул (3)-(5) и (7) необходим только вблизи фронта, где плотность тока J очень велика и быстро изменяется со временем. При удалении от фронта (при $|\tilde{z}| > \lambda$) плотность тока J и скорость его изменения экспоненциально уменьшаются. Поэтому в формулах (3),(4) можно положить $E_n = E_s = 0$ и использовать вместо них одно простое соотношение

$$\frac{U}{U_B} \equiv V = \left(\frac{Q}{Q_B} \right)^2, \quad (28)$$

которое правильно описывает нелинейность емкости диода. Разумеется, при этом не учитывается дисперсия и диссипация на фронте. Кроме того, для упрощения задачи, будем считать погонное сопротивление R_L постоянной величиной, пренебрегая тем самым скин-эффектом в металле электродов. Тогда из (1) следует уравнение

$$\frac{\partial^2 q}{\partial \theta^2} + (r + g) \frac{\partial q}{\partial \theta} + rgq = \frac{\partial}{\partial \chi} \left(q \frac{\partial q}{\partial \chi} \right), \quad (29)$$

которое можно использовать для качественного анализа процессов формирования и затухание ударной волны в ЛП, на вход которой подается медленно нарастающее напряжение. В (29) использованы безразмерные переменные

$$q = Q/Q_B, \quad \theta = t/t_0, \quad \chi = \frac{z}{t_0} \sqrt{\frac{LC_B}{2}},$$

параметры $r = t_0 R_L / L$, $g = t_0 / \tau_g$, характеризующие диссипацию за фронтом и учтено, что в обратно смещенных диодах линейная плотность тока утечки $GU = eNlw / \tau_g = Q / \tau_g$, где $\tau_g = t_g N / n_i$, t_g - генерационное время жизни, n_i - собственная концентрация в полупроводнике, $\bar{C}_B = 2\epsilon l / d$. Далее мы будем использовать простейшие начальное и граничное условия

$$q(0, \chi) = 0 \quad \text{и} \quad q(\theta, 0) = \begin{cases} \sqrt{\theta} & \text{при } \theta < 1 \\ 1 & \text{при } \theta > 1 \end{cases}, \quad (30)$$

соответствующие линейному нарастанию напряжения на входе в незаряженную ЛП от нуля до U_B за время t_0 . Обычно параметр $rg / (r + g)^2$, характеризующий относительный вклад в затухание волны двух различных механизмов, очень мал вследствие неравенства $L/R_L \ll \tau_g \sim 1$ мс, поэтому можно считать $g = 0$.

Если еще и сопротивление R_L пренебрежимо мало, то нетрудно [3-6,20] найти частное решение задачи Коши (29),(30), которое описывает распространение так называемой простой волны [20], возбуждаемой внешним источником напряжения на входе (то есть при $z = 0$) в незаряженную ЛП:

$$\chi = \sqrt{q} (\theta - q^2). \quad (31)$$

Эта формула применима при $\chi_\theta \leq \chi \leq \chi_f(\theta)$ и $1 \geq q \geq q_f(\theta)$, где $\chi_\theta = \theta H(\theta - 1)$, $H(x)$ - ступенчатая функция Хевисайда, χ_f и q_f положение и амплитуда разрыва, который в этом приближении образуется вместо фронта конечной толщины и устраняет нефизичную двузначность зависимости (31) q от χ [20]. Если $t_f \ll t_0$, то сам фронт является квазистационарным, так что для вычисления его структуры и скорости можно использовать соотношения, полученные в предыдущем разделе, полагая $U_- = U_B q_f^2$. В частности, безразмерная скорость разрыва $v_f = \partial \chi_f / \partial \theta$ должна быть равна $\sqrt{q_f / 2}$, поэтому дифференцирование (31) по θ при $q = q_f$ приводит к уравнению

$$(\theta - 5q_f^2) \frac{\partial q_f}{\partial \theta} = (2 - \sqrt{2}) q_f,$$

решая которое с начальным условием $q_f(0) = 0$, получим

$$q_f = \sqrt{\frac{\theta}{\chi_1 + 1}}, \quad \chi_f = \chi_1 \left(\frac{\theta}{\chi_1 + 1} \right)^{5/4}, \quad (32)$$

$$q_f = (\chi_f / \chi_1)^{2/5}, \quad (33)$$

где $\chi_1 = 2\sqrt{2}/(5 - 2\sqrt{2}) \approx 1.3$. Формулы (31)-(33) отлично описывает численное решение задачи Коши (29),(30) без учета затухания, приведенное на Рис. 5.

При $\theta > 1$ появляется область $0 < \chi < \chi_\theta$, в которой $q = 1$, тогда как при $\chi_\theta < \chi < \chi_f$ профиль волны по-прежнему описывается формулой (31). Правая граница χ_θ движется со скоростью $\partial \chi / \partial \theta|_{q=1} = 1$ и догоняет фронт в плоскости $\chi = \chi_1$ в момент $\theta = \theta_1 = 1 + \chi_1$. После этого возникает стационарная волна с амплитудой $q_f = 1$ и безразмерной скоростью фронта $v_f = \sqrt{1/2}$. Используя (25) и (33) нетрудно показать, что за время θ_1 в нейтральной части n -слоя на фронте рассеивается энергия

$$\Omega_1 \equiv \int_0^{z_1} \omega_n [q_f(z)] dz = \frac{5}{66} l z_1 \varepsilon E_B U_B, \quad (34)$$

которая в 4,4 раза меньше энергии электрического поля ω_{z_1} , запасенной к этому времени в линии.

При конечном сопротивлении R_L аналитическое решение задачи Коши (29),(30) неизвестно, даже если считать $R_L = const$. Результаты численного решения вполне ожидаемы: омические потери в электродах приводят к затуханию волны, как это изображено на Рис. 6. Амплитуда скачка напряжения достигает максимума $V_m = q_m^2$ при $\chi = \chi_m$ в момент $\theta = \theta_m$. Поэтому оптимальная длина ЛП, используемой для обострения фронта входного импульса, равна $z_m = \chi_m t_0 \sqrt{2/LC_B}$.

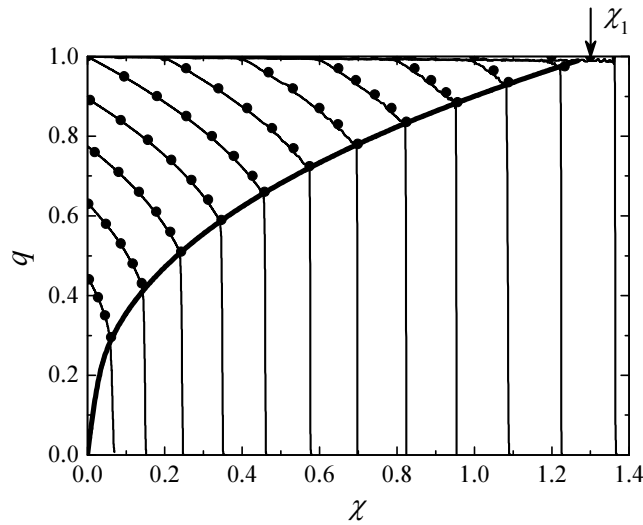


Рис. 5. Профили незатухающей ударной волны в моменты $\theta = 0.2; 0.4 \dots 2.4$ при $r = g = 0$. Тонкие сплошные линии - численное решение задачи Коши (29),(30), темные символы - расчет $q(\theta, \chi)$ по формуле (31), толстая линия - зависимость $q_f(\chi_f)$, рассчитанная по формуле (33).

Величины χ_m и θ_m очень слабо уменьшаются с ростом r (см. Рис. 7) и с достаточной для практических целей точностью могут считаться постоянными и равными χ_1 и θ_1 соответственно. Максимальная амплитуда разрыва $V_m = U_m/U_B$, естественно, тоже уменьшается с ростом r , но медленнее, чем нарастает омическое падение напряжения U_r на электродах между входом в линию и плоскостью $\chi = \chi_m$, равное в рассматриваемом здесь случае [21]

$$\frac{U_r(t_m)}{U_B} \equiv V_r(\theta_m) = 1 - \frac{1}{r} (e^r - 1) e^{-r\theta_m} \Big|_{t_m \ll t_r} \approx 4.6 \frac{t_0}{t_r}. \quad (35)$$

где $t_r = \sigma_M \mu_0 d_M (d + d_s)$, σ_M и d_M - проводимость и толщина электродов соответственно. Причина этого состоит в том, что затухание приводит к уменьшению со временем тока I вдоль линии, так что второе слагаемое в (1) частично компенсирует «омическое» поле $R_L I$ и замедляет уменьшение напряжения U с ростом z .

Сопротивление R_L уменьшается с ростом d_M и σ_M , но ограничено снизу скин-эффектом, учет которого приводит к тому, что вместо (29) получается нелинейное интегро-дифференциальное уравнение. Его решение даже численными методами представляет собой нетривиальную задачу. Однако при сильном скин-эффекте (то есть при $d_M > 2\sqrt{t_m/\sigma_M \mu_0}$) для омического падения напряжения U_σ вдоль электродов между входом в линию и фронтом была получена точная формула [21]. При малом затухании в электродах, когда $t_0 \ll t_\sigma = \pi \sigma \mu_0 (d + d_s)^2$ ее можно представить в виде

$$\frac{U_\sigma(t)}{U_B} \equiv V_\sigma(\theta) = \frac{4}{3} \sqrt{\frac{t_0}{t_\sigma}} \left[\theta^{3/2} - (\theta - 1)^{3/2} \text{H}(\theta - 1) \right] \Big|_{t=t_m} \approx 2.67 \sqrt{\frac{t_0}{t_\sigma}}. \quad (36)$$

Очевидно, при $V_\sigma(\theta_m) \ll 1$ скин-эффект не может привести к изменению соотношений $\chi_m \approx \chi_1$ и $\theta_m \approx 1 + \chi_1$, использование которых приводит к последнему приближенному равенству в (36).

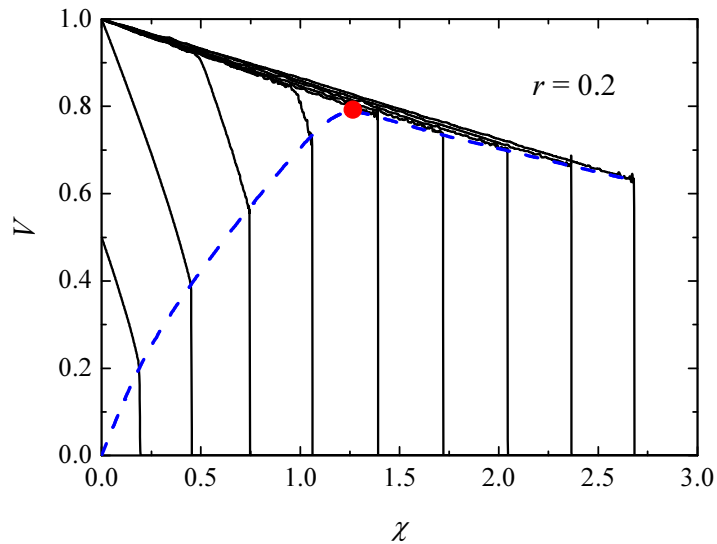


Рис. 6. Сплошные линии - профили затухающей ударной волны в моменты $\theta = 0.5; 1.0 \dots 4.5$, полученные путем численного решения задачи Коши (29),(30), при $r = 0.2$ и $g = 0$. Штриховая линия – зависимость амплитуды разрыва от его положения. Точкой отмечено положение χ_m и амплитуда $V_m = q_m^2$ максимального разрыва в момент $\theta = \theta_m = 2.3$.

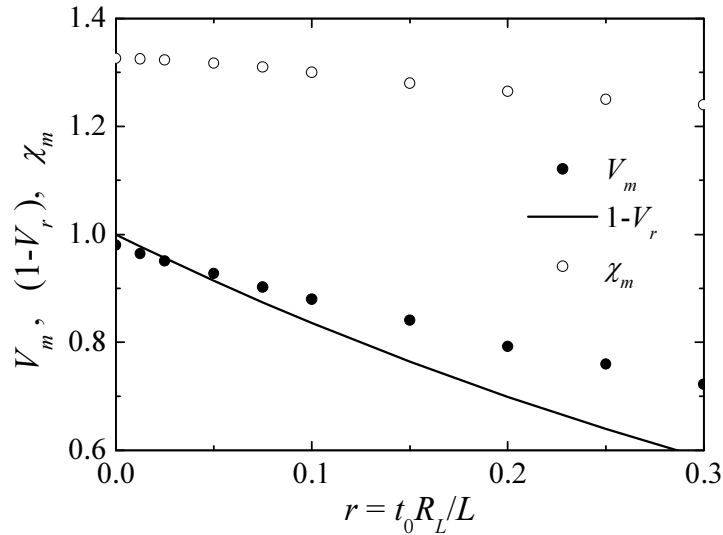


Рис. 7. Зависимости положения χ_m и амплитуды $V_m = q_m^2$ максимального разрыва от безразмерного сопротивления r . Символы – результаты численного решения, сплошная линия – расчет $(1-V_r)$ по формуле (35) при $\theta_m = 2.3$.

5. Заключение.

Полученные выше результаты позволяют оценить достижимые параметры ЛП как обострителя фронта импульса напряжения. В качестве примера проделаем это для ЛП на основе Si и 4H-SiC, с помощью которых нужно сформировать импульс с фронтом $t_f = 0.2$ нс и коэффициентом обострения $k = t_0/t_f = 10$. Эти условия позволяют найти все необходимые параметры линии:

- толщину n -слоя $d = t_f v_e / \xi$;
- напряжение пробоя U_B и напряженность поля E_B , связанные с d соотношениями $U_B = E_B d / 2$ и $E_B = E_i / \ln(U_B / U_i)$, где E_i и U_i - подгоночные параметры, приведенные Таблице 1 для Si [22] и 4H-SiC [23];
- величину γ_0 по формуле (27) и полную толщину полупроводника γd ;
- оптимальную длину линии $z_m = \chi_m t_0 c_s / \sqrt{\gamma}$;
- минимальную толщину $d_M = 2\sqrt{\theta_m t_0 / \sigma_M \mu_0}$ электродов, при которой их сопротивление определяется скин-эффектом;
- нормированное падение напряжения вдоль электродов $V_m = U_\sigma(\theta_m t_0) / U_B$ по формуле (36);
- нормированную ширину линии $l/\gamma d = Z_z / Z \sqrt{2\gamma}$.

Таблица 2.

Параметр	E_B , МВ/см	U_B , кВ	d , мкм	γd , мкм	z_m , см	d_M , мкм	V_m	$l/\gamma d$
Si	0,27	0,37	27	290	6,9	22	0,037	4,7
4H-SiC	2,1	4,48	43	240	10,6	22	0,046	7,2

Результаты расчетов при $\gamma = \gamma_0/4$, $\sigma_M = 3 \cdot 10^5$ См/см и $Z = 5$ Ом, приведенные в Таблице 2, позволяют сделать следующие выводы. Во-первых, необходимая длительность фронта t_f однозначно определяет его максимальную амплитуду $U = U_B$. По этому показателю карбид кремниевые ЛП обладают явным преимуществом над кремниевыми. Причиной этого, очевидно, является гораздо более высокая электрическая прочность карбида кремния. Во-вторых, в

рассмотренном случае омическое падение напряжения вдоль электродов U_σ много меньше U_B и даже почти в три раза меньше \hat{U}_n . Поэтому общие потери энергии в ЛП за время t_m лишь немного превосходят Ω_1 . В-третьих, увеличение коэффициента обострения k при заданной длительности фронта приводит к росту минимальной толщины d_M электродов, напряжения U_σ и, особенно быстрому, оптимальной длины линии z_m , которая и при $k=10$ оказывается очень большой. Вероятно именно это последнее обстоятельство является основным конструктивным ограничением максимально допустимой величины k .

Автор благодарен А. В. Горбатьку и О. В. Руденко за плодотворные обсуждения процессов эволюции нелинейных распределенных систем. Работа выполнена при поддержке РФФИ (грант 16-08-01292).

Литература

1. R. Landauer. IBM J. Res. Develop., **4**, 391 (1960).
2. Р. В. Хохлов. Радиотехника и электроника **6**, 916 (1961).
3. И. Г. Катаев. *Ударные электромагнитные волны* (М.: Сов. радио, 1963) с. 152.
4. Л. А. Моругин, Г. В. Глебович. *Наносекундная импульсная техника* (М.: Сов. радио, 1964) с. 215-261.
5. А. В. Гапонов, Л. А. Островский, Г. И. Фрейдман. Изв. ВУЗов Радиофизика, **10**, 1376 (1967).
6. P. W. Smith. *Transient Electronics. Pulsed Circuit Technology* (Chichester: John Wiley & Sons Ltd., 2002) pp. 237-266.
7. Л. А. Вайнштейн. *Электромагнитные волны* (М.: Радио и связь, 1988) с. 100-115.
8. S. T. Peng and R. Landauer. IBM J. Res. Develop., **17**, 299 (1973).
9. R. Owens, C. Eng, G. White. *Proc. IEE*, **113**, 1763 (1966).
10. E. Cumberbatch. SIAM Journal on Applied Mathematics, **15**, 450 (1967).
11. S. K. Mullick. IBM J. Res. Develop., **11**, 558 (1967).
12. D. Jäger. IEEE Trans. Microwave Theory Tech., **MTT-24**, 566 (1976).
13. M. M. Turner, G. Branch, P. W. Smith. IEEE Trans. Electron Dev., **38**, 810 (1991).
14. M. V. Fischetti, and S. E. Laux. Phys. Rev. B, **38**, 9721 (1988).
15. A. Akturk, N. Goldsman, S. Potbhare, A. Lelis. J. Appl. Phys., **105**, 033703 (2009).
16. H. Guckel, P. A. Brennan, and I. Palócz. IEEE Trans. Microwave Theory Tech., **MTT-15**, 468 (1967).
17. H. Hasegawa, M. Furukawa, and H. Yanai. **MTT-19**, 869 (1971).
18. G. W. Hughes, R. M. White. IEEE Trans. Electron Dev., **22**, 945 (1975).
19. D. F. Williams. IEEE Trans. Microwave Theory Tech., **47**, 176 (1999).
20. Дж. Уизем. *Линейные и нелинейные волны* (М.: Мир, 1977) 624 с. [G.B. Whitham *Linear and Nonlinear Waves*. John Wiley & Sons Inc., N-Y, 1974, 636 pp.]
21. А. С. Кюрегян. ЖТФ, **88**, в печати (2018).
22. А. С. Кюрегян, С. Н. Юрков. ФТП, **23**, 1819 (1989).
23. А. С. Кюрегян. ФТП, **50**, 293 (2016).